

Методика оценки условий заряжания для баллистического эксперимента с применением присоединенного заряда

Сидоров Алексей Дмитриевич

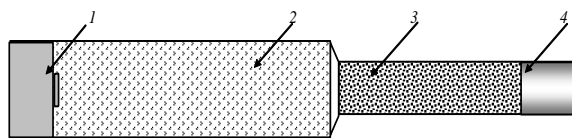
Зыкова Анжелика Игоревна, Саморокова Нина Михайловна

Томский государственный университет

Ищенко Александр Николаевич, д.ф.-м.н.

alex_sid92@mail.ru

Существует проблема повышения дульной скорости V_d метаемого элемента (МЭ), являющаяся одной из основных задач внутренней баллистики ствольных систем. Традиционные способы повышения дульной скорости МЭ, например: увеличение длины ствола, повышение массы метательного заряда (МЗ) - практически исчерпали свой потенциал. Одним из способов решения проблемы повышения дульной скорости является применение нетрадиционной схемы выстрела с использованием присоединенного заряда (ПЗ), показанной на *рис. 1*. ПЗ - моноблочный дополнительный заряд, состоящий из новых перспективных топлив. Он располагается в контейнере за МЭ в стволе. В процессе выстрела ПЗ воспламеняется после воспламенения МЗ, горит с одного торца, двигается по стволу и выталкивает перед собой МЭ. Движение сборки МЭ+ПЗ приводит к перераспределению давления в стволе. Кроме того, ПЗ создает дополнительный реактивный подгон МЭ. Все перечисленные факторы приводят к повышению скорости МЭ на дульном срезе.

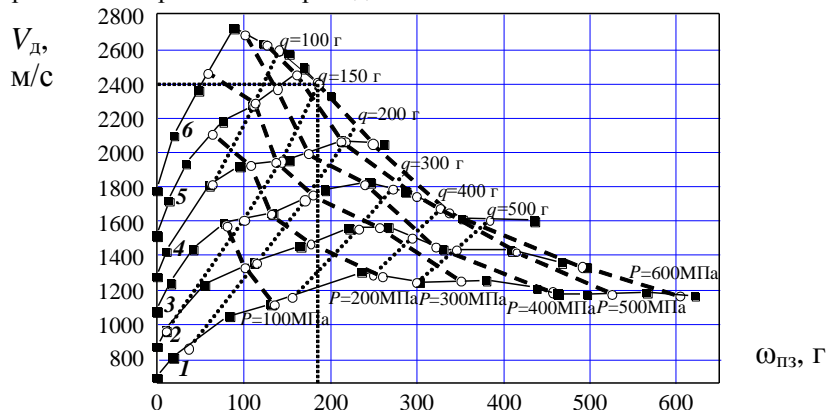


1 - воспламенитель; 2 - МЗ; 3 - ПЗ; 4 - МЭ.

рис. 1. Схема нетрадиционного выстрела с применением ПЗ

В работе проведена серия параметрических расчетов прямой задачи внутренней баллистики с использованием математической модели расчета внутрибаллистических процессов в ствольных системах, разработанной в НИИ ПММ ТГУ [1]. В расчетах были выполнены следующие условия: максимальное давление выстрела P_{max} не превышает 600 МПа; давление форсирования и трение МЭ о канал ствола постоянны; энергетика МЗ и ПЗ одинаковы; ПЗ горит в торцевом режиме без образования частиц на фронте горения. В расчетах при фиксированной массе МЗ ω изменялась масса метаемой сборки: масса несгоревшего ПЗ к моменту вылета МЭ из канала ствола становилась частью массы МЭ. Таким образом, выполнялось условие сгорания ПЗ к моменту вылета МЭ из канала ствола с достижением максимально возможной дульной скорости МЭ.

Результаты серии параметрических расчетов представлены на *рис. 2* в виде интегрированной диаграммы, иллюстрирующей результаты расчетов. В координатах ($\omega_{ПЗ}$, V_d) построены изолинии масс МЗ ω , масс МЭ q и максимального давления P_{max} . На основе полученной диаграммы расчетов можно решать различные задачи для данных условий выстрела. Некоторые из них приведены ниже.



1 - $\omega=150$ г, 2 - $\omega=200$ г, 3 - $\omega=250$ г, 4 - $\omega=300$ г, 5 - $\omega=350$ г, 6 - $\omega=400$ г

--- - изолинии максимального давления, - изолинии масс МЭ

рис. 2. Зависимости максимальной дульной скорости МЭ от массы ПЗ

Для МЭ массой q и МЗ массой ω (точка пересечения соответствующих кривых на диаграмме) определить оптимальную массу ПЗ (проекция на ось $\omega_{ПЗ}$) и получаемую V_d МЭ (проекция на ось V_d), а также оценить максимальное давление P_{max} . Например, для $q = 150$ г при условии заряжания $\omega = 350$ г и $\omega_{ПЗ} = 181$ г будут получены $V_d = 2398$ м/с и давление $P_{max} = 575$ МПа (*рис. 2*).

В этой задаче имеется пять параметров: массы МЗ - ω , ПЗ - $\omega_{пз}$ и МЭ - q , максимальное давление выстрела P_{max} и максимальная дульная скорость V_d . С этими параметрами можно решать и другие задачи внутренней баллистики, фиксируя из них 2-3, а остальные находя в диапазоне условий задачи: для МЭ массой q при заданном уровне P_{max} определить максимально возможную V_d МЭ, необходимую для этого массу ПЗ и оценить массу МЗ ω ; для заданного значения V_d при заданном уровне P_{max} можно определить максимальную массу МЭ, который можно метнуть с этой скоростью и необходимые для этого условия заряжания ω , $\omega_{пз}$; при фиксированной массе $\omega_{пз}$ при заданном уровне P_{max} можно определить при каких массах МЗ ω какую массу МЭ можно метнуть и какую дульную скорость V_d при этом получить; при фиксированной массе МЗ ω при заданном уровне P_{max} можно определить какую массу МЭ можно метнуть и с какой скоростью V_d и необходимую для этого массу $\omega_{пз}$.

Таким образом, были получены результаты, являющиеся первоначальной оценкой условий заряжания, которые могут служить отправной точкой дальнейших расчетов с использованием математической модели. В работе использованы результаты, полученные в рамках Программы повышения конкурентоспособности ТГУ.

Список публикаций:

[1] Ищенко А.Н., Касимов В.З. // Издательский Дом Томского государственного университета. – Томск, 2015.

Устойчивость стационарной тепловой конвекции в квадратной полости с движущейся стенкой в маломодовом приближении

Ступникова Анастасия Вячеславовна

Пермский национальный исследовательский политехнический университет

Шарифулин Альберт Нургалеевич, к.ф.-м.н.

Stypnast2014@yandex.ru

Экспериментальное и теоретическое изучение бифуркаций стационарных режимов тепловой конвекции в замкнутой полости актуально для предсказания смен режимов, как в технологических процессах, так и для предсказания природных катастроф, связанных со сменой режимов атмосферных или океанических течений.

Со времен работы Релея по конвекции в горизонтальном слое сложился подход, заключающийся в рассмотрении устойчивости тепловой конвекции в полостях простой геометрической формы: горизонтальных и вертикальных плоских слоях и бесконечных цилиндрах для условий подогрева когда возможно состояния механического равновесия. Нарушение условий механического равновесия приводит к качественному изменению бифуркационной картины. К настоящему времени хорошо изучено влияние наклона полости, ее вибраций. Интересно с точки зрения приложений влияния движения одной из стенок полости. Такой способ нарушения условий механического равновесия практически не исследован. Имеется лишь работа [1], где показано, что движение верхней стенки квадратной полости (см.рис.1) приводит к разрушению вилочной бифуркации. В отсутствии нагрева задача переходит в известную задачу Кавагути[2].

В настоящей работе для анализа бифуркаций стационарных состояний этой задачи применяется маломодовая модель, аналогичная использованной в [3]:

$$\begin{cases} \dot{\psi} = -\psi + r\mathcal{G}_1 + \text{Re}, \\ \text{Pr} \dot{\mathcal{G}}_1 = \psi - \mathcal{G}_1 - \psi\mathcal{G}_2, \\ \text{Pr} \dot{\mathcal{G}}_2 = -b\mathcal{G}_2 + \psi\mathcal{G}_1, \end{cases} \quad (1)$$

где ψ – интенсивность вихря, возникающего в полости, а \mathcal{G}_1 и \mathcal{G}_2 – амплитуды первых двух членов разложения поля температуры. r – нормированное число Релея, задающее интенсивность подогрева, Re – число Рейнольдса, совпадающее с безразмерной скоростью движения верхней стенки, b – геометрический параметр, Pr – число Прандтля.

С помощью модели (1) численно и аналитически было исследовано влияние скорости движения верхней стенки Re на интенсивность вихря, возникающего в полости. Задача имеет два предельных случая. В первом, когда $\text{Re}=0$ (неподвижная стенка) модель (1) переходит в хорошо исследованную модель Лоренца, а при $r=0$ (1) имеет решение $\psi = \text{Re}$. Это решение качественно верно описывает поведение жидкости при малых числах Рейнольдса, когда течение остается одновихревым [2]. Как видно из рис.2 полученная в расчетах при $r=0.3$ зависимость $\psi(\text{Re})$ остается практически линейной.